



Christian Reiter

Interne 1 - Kardiologie und Internistische Intensivmedizin

Kepler Universitätsklinikum – Med Campus III











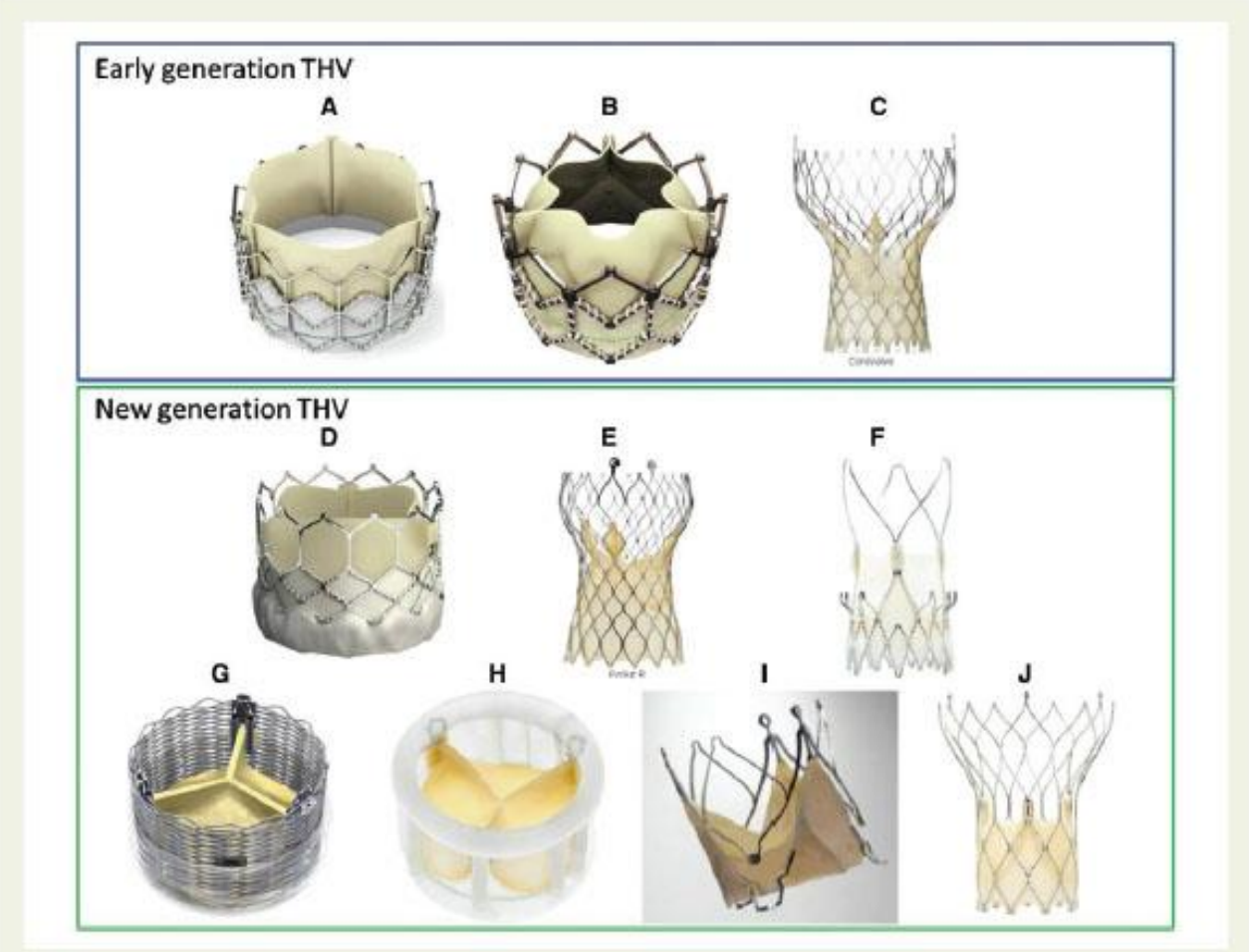
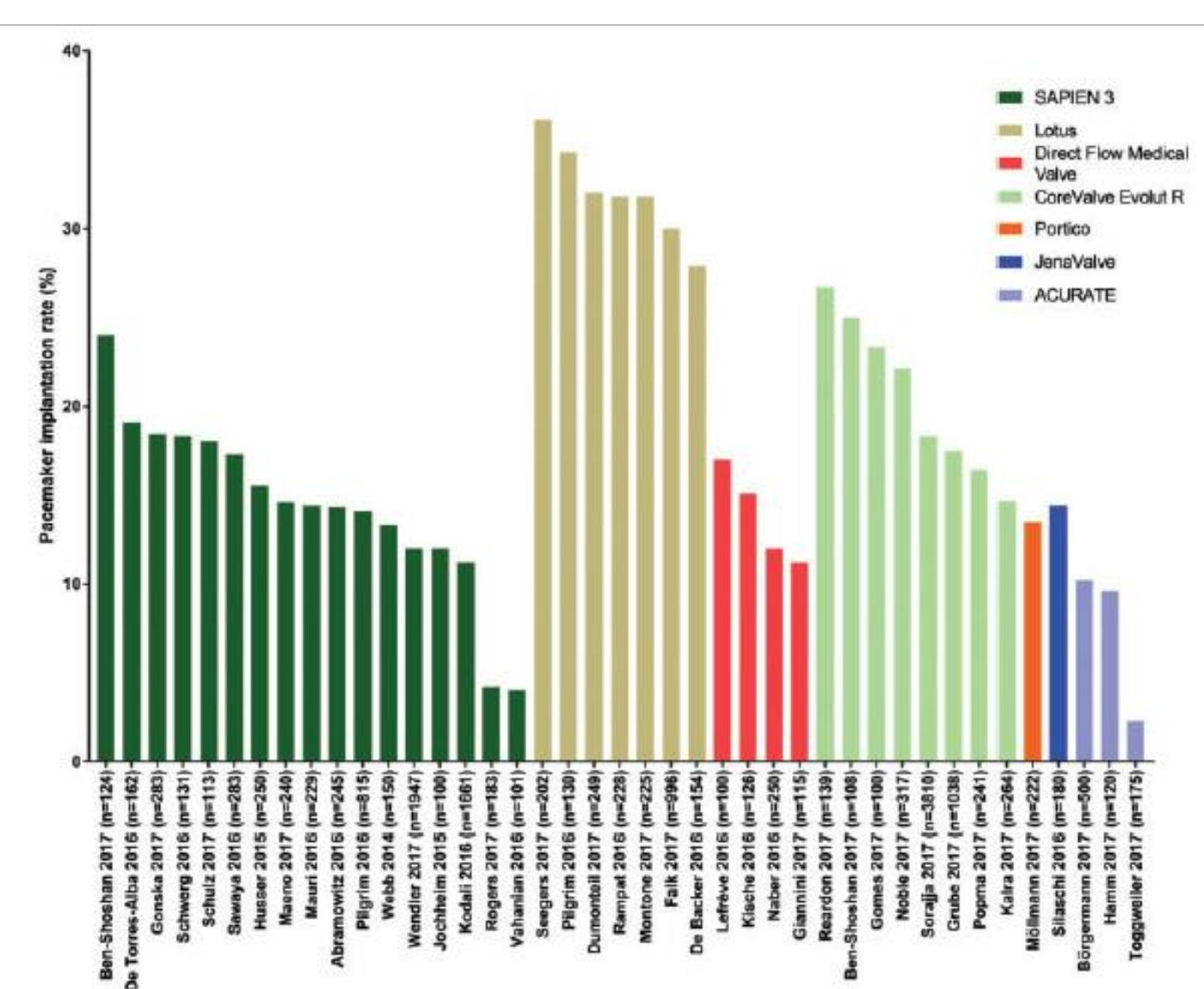


Figure 1 Early- and new-generation transcatheter aortic valves (A) SAPIBN Edwards, (B) SAPIBN XT, (C) Meditronic CoreValve, (D) SAPIBN 3, (E) CoreValve Brolut R, (F) ACURATE transcatheter heart valve system, (G) Lotus valve, (H) Direct Flow Medical Transcatheter Aortic Valve System, (I) JenaValve, and (J) Portico. THV, transcatheter heart valve.

Van Rosendael et al. European Heart Journal 2018



Schrittmacherimplantationsrate nach TAVI

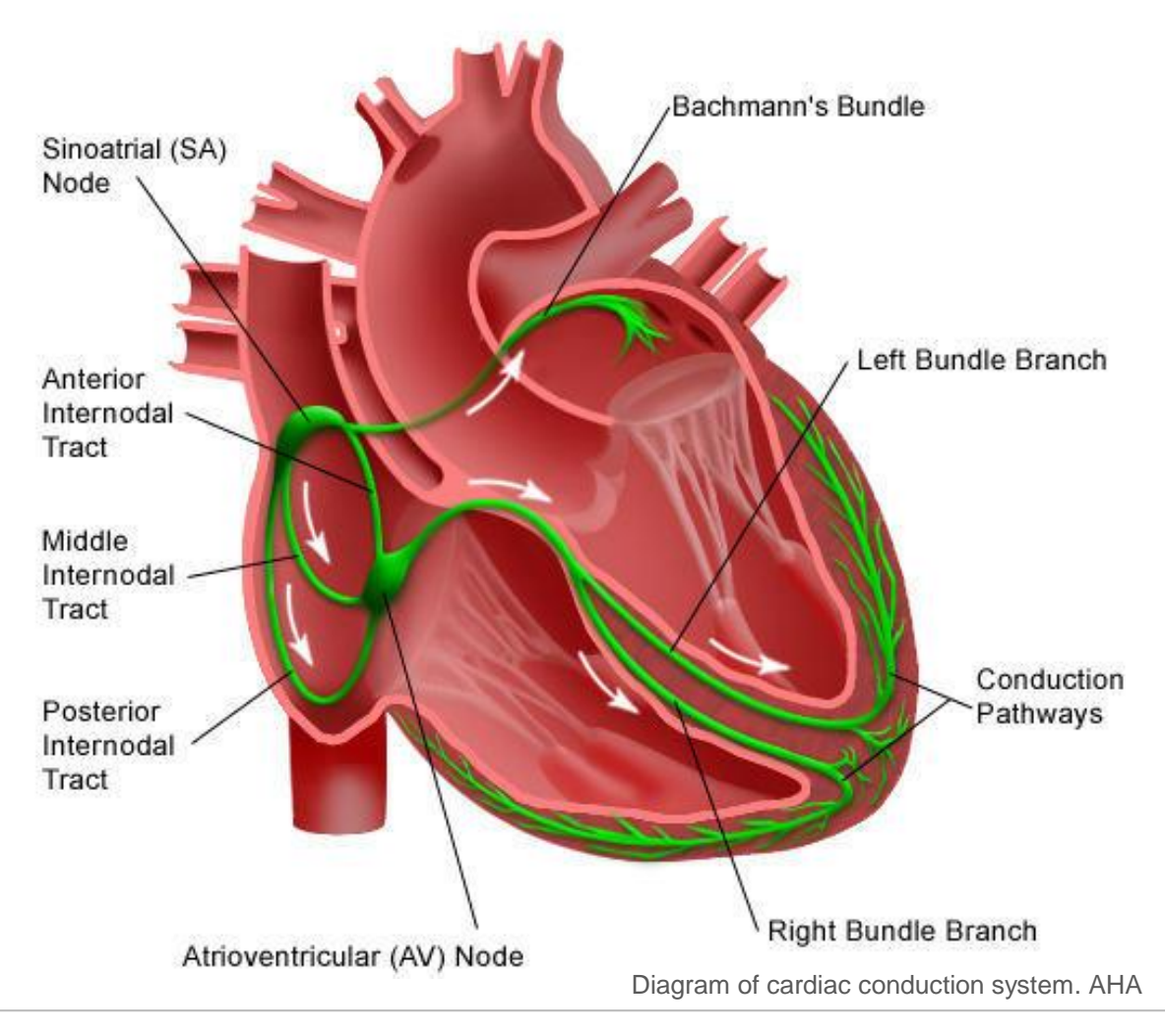


Van Rosendael et al. 2018 European Heart Journal



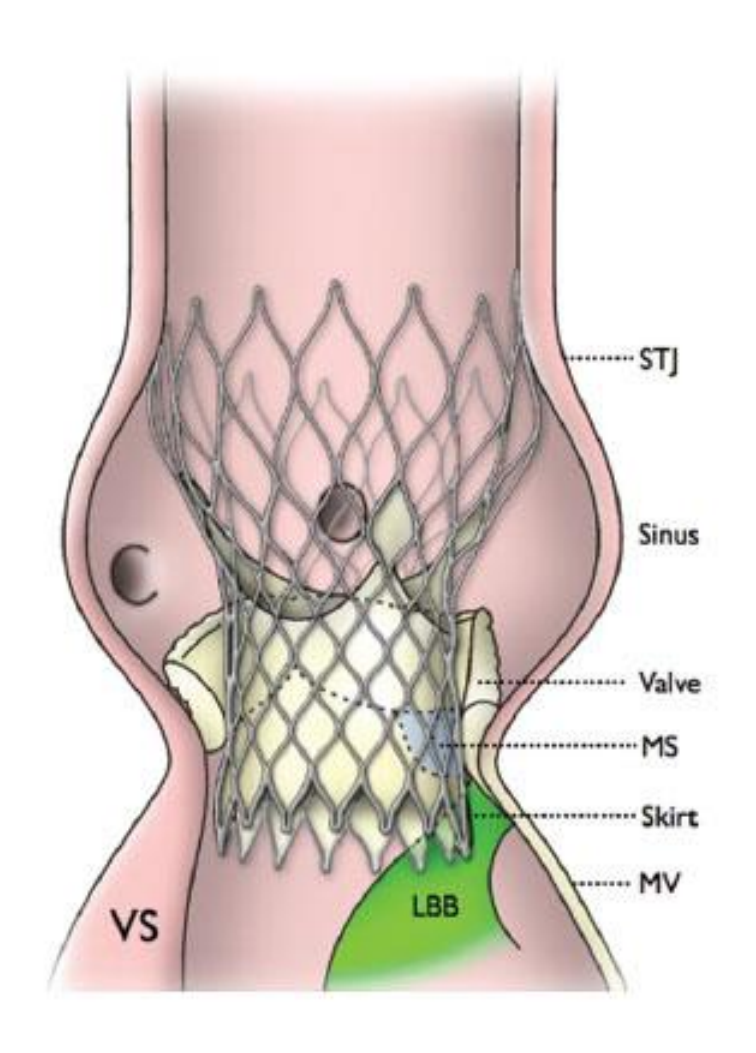
Anatomie des Reizleitungssystems

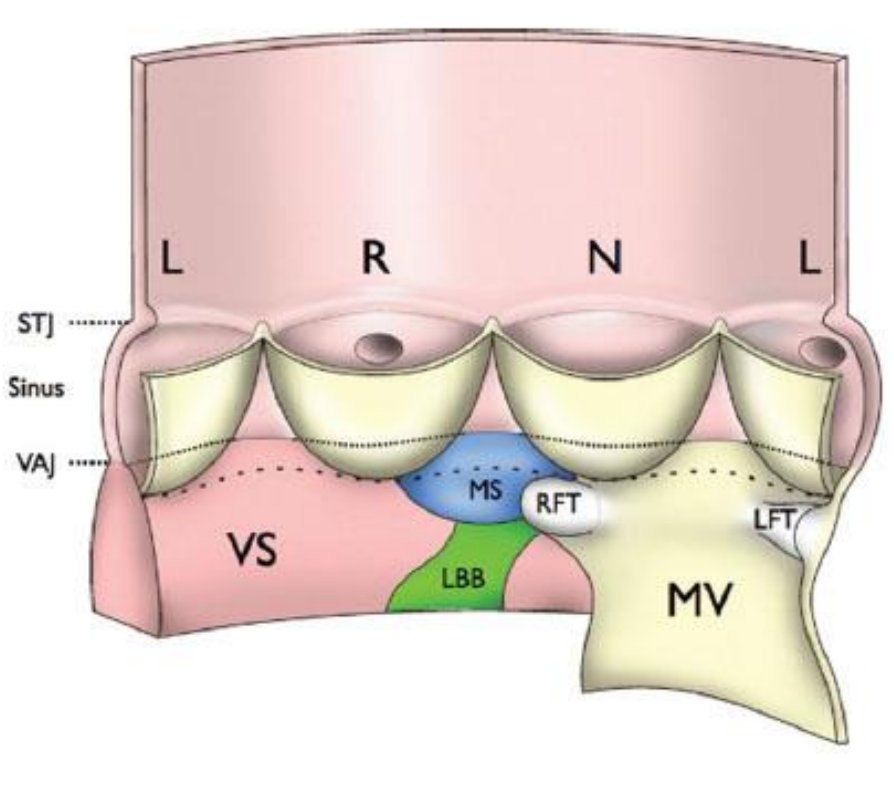
Electrical System of the Heart





Anatomie des Reizleitungssystems

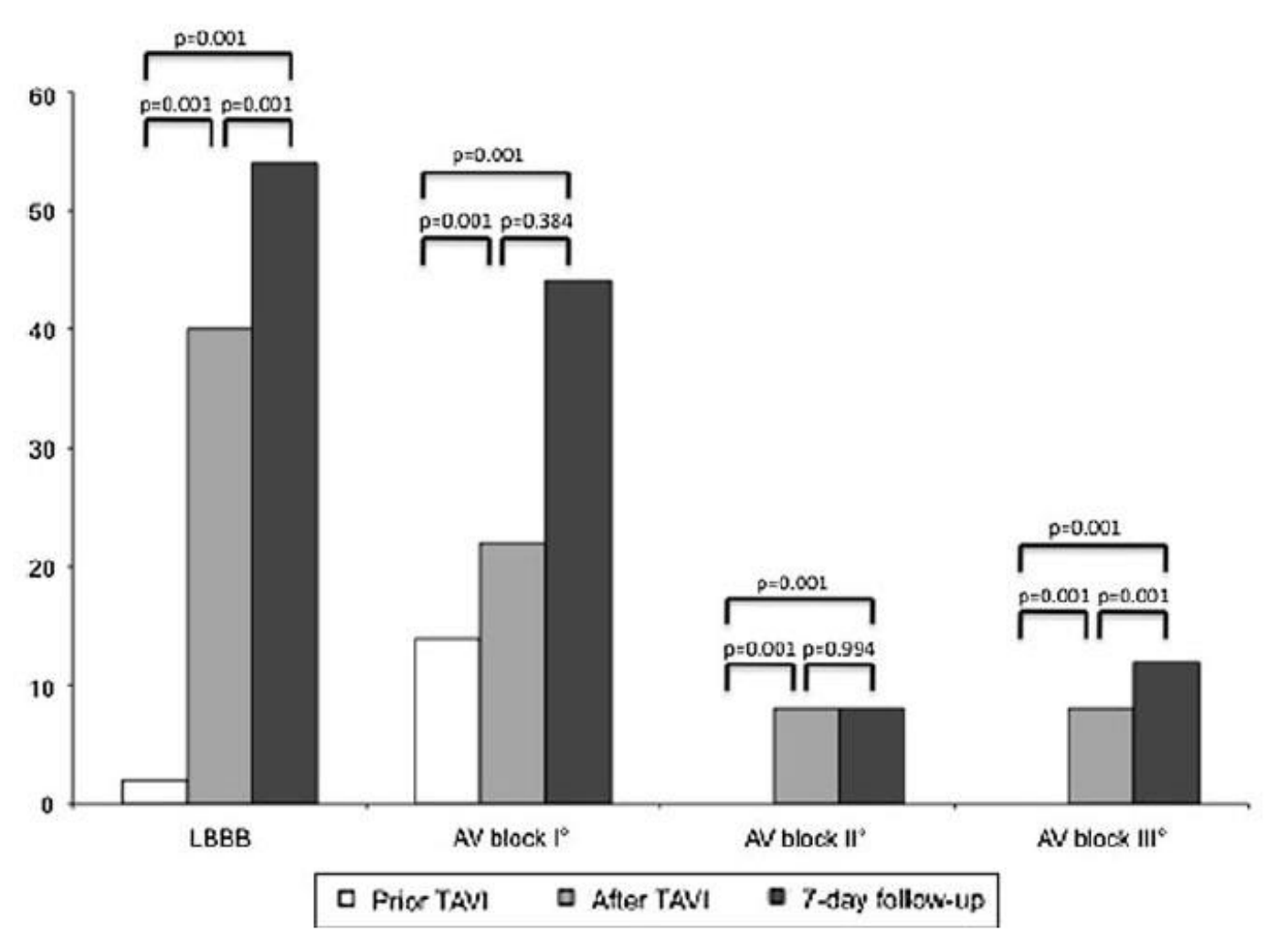




Khawaja et al. Circulation 2011



Reizleitungsstörungen nach TAVI



Akin et al. Clin. Res. Cardiology 2012



Zeitliches Auftreten relevanter Bradyarrhythmien

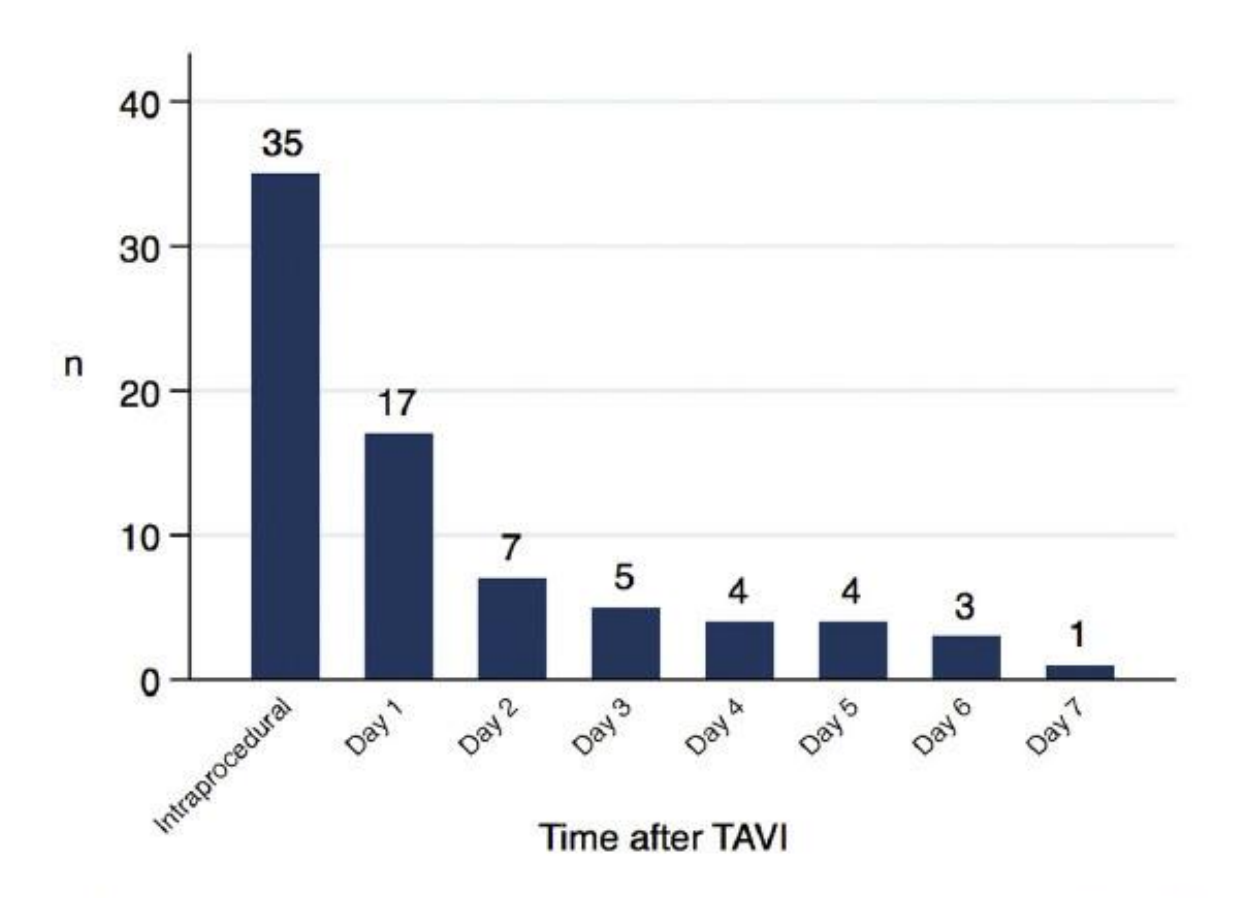
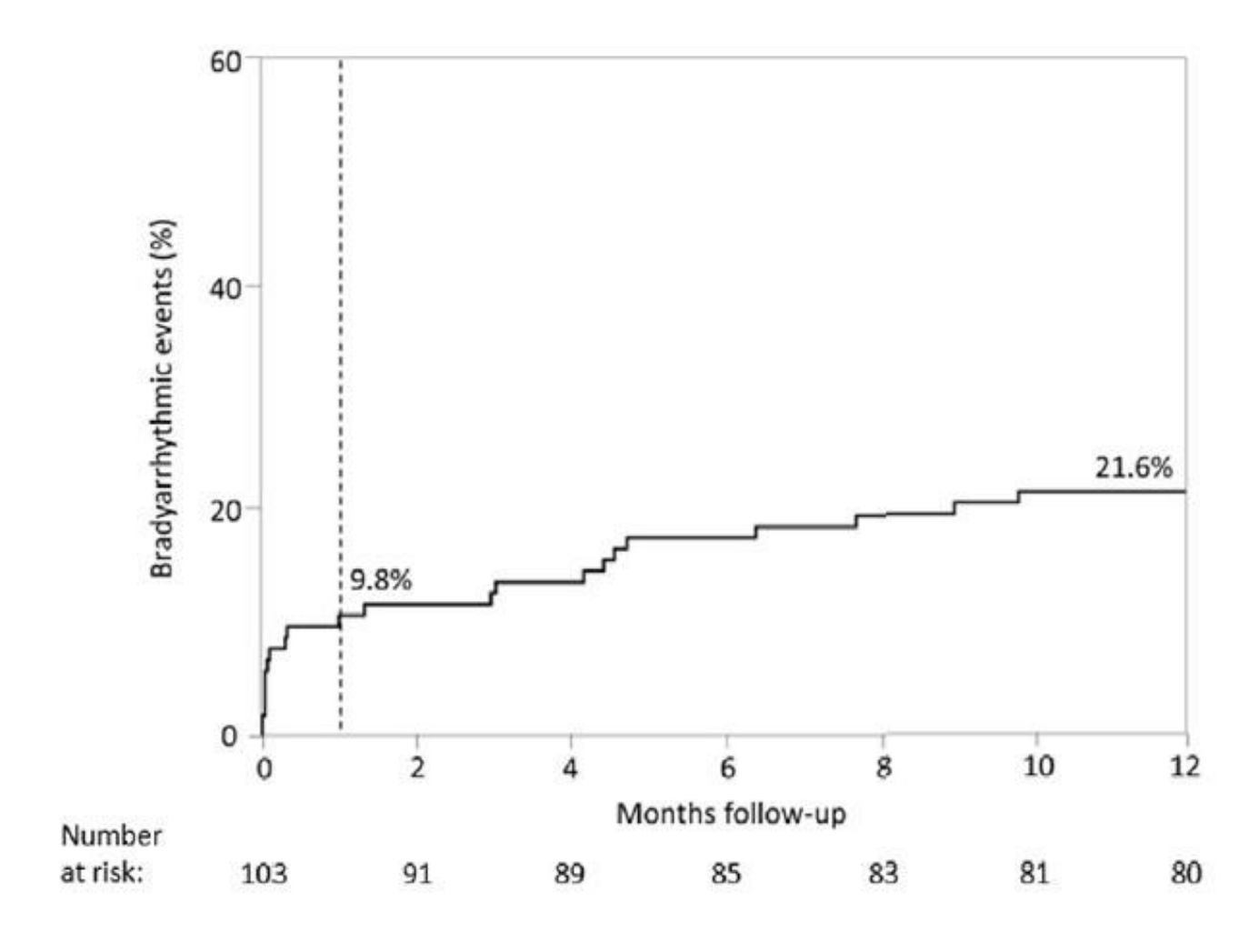


Fig. 1. High-grade conduction abnormalities leading to pacemaker implantation. Number of patients developing high grade conduction abnormalities leading to pacemaker implantation versus time of occurrence of the conduction abnormalities after TAVI.

DeTorres-Alba et al. Int. J Cardiology 2018



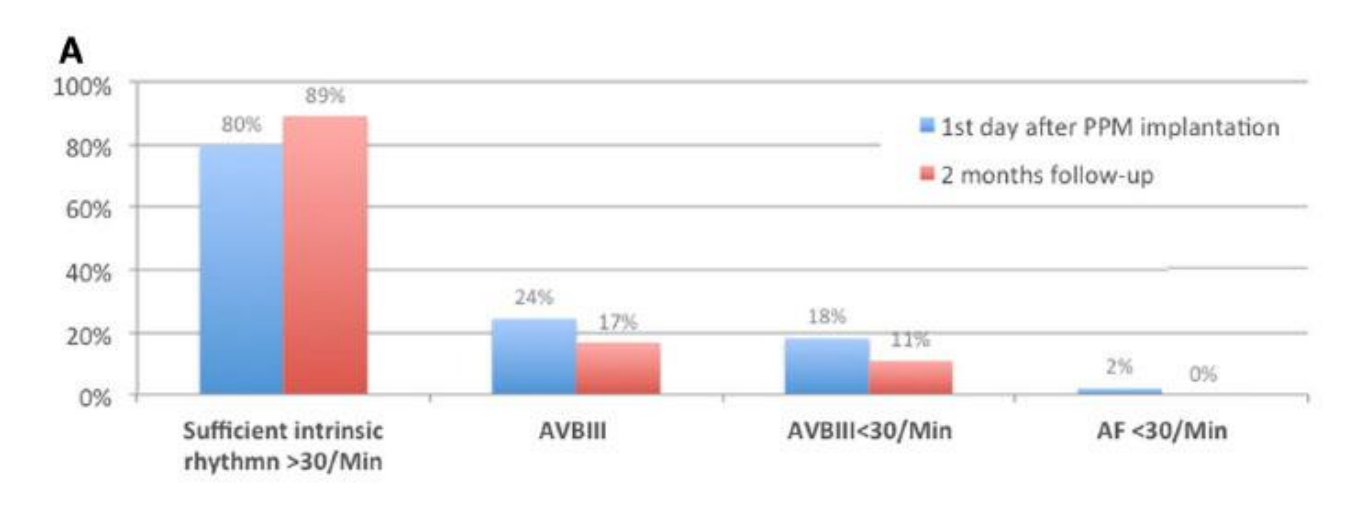
Zeitliches Auftreten relevanter Bradyarrhythmien

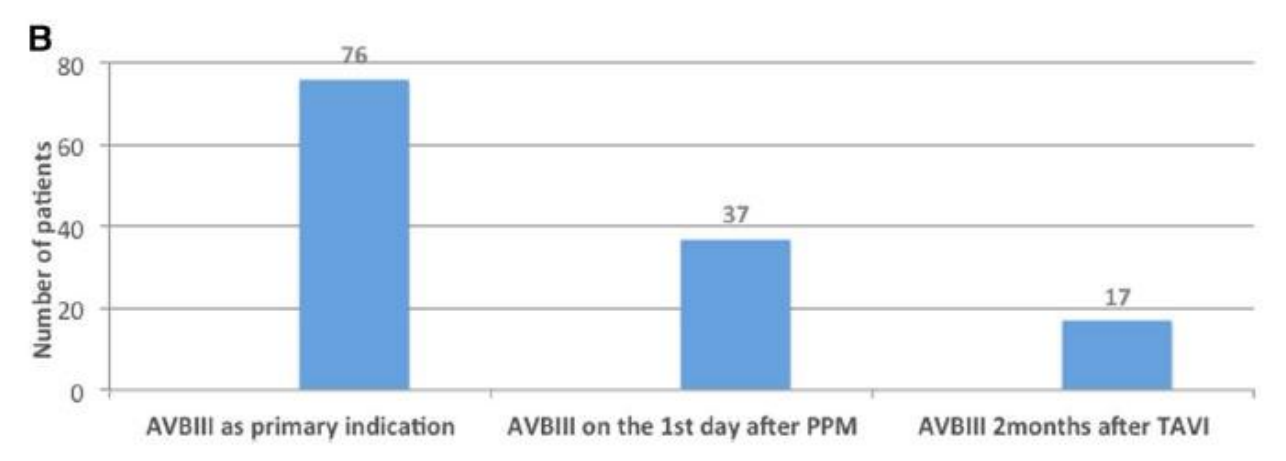


Rodés-Cabau et al. JACC: Cardiovasc. Interventions 2018



Postinterventioneller AV-Block als passagere Problematik





Gaede et al. Clin Res. Cardiology 2017



Risikofaktoren für Reizleitungsstörungen nach TAVI

TABLE 4 | Predictors of conduction disturbances, pacemaker implantation and dependency after TAVI.

Pre-procedural	References	Intra-procedural	References
PREDICTORS OF LBBB			
Baseline QRS duration	(4)	Depth of prostheisis implantation	(4)
PREDICTORS OF AV BLOCK		**************************************	-0000
Male sex	(32)	New LBBB or RBBB	(32)
Short membranous septum	(33)	QRS > 128 ms	(34)
		Insufficient difference between membranous septum lenght and depth of implantation	
PREDICTORS OF PPI			
Male sex	(35)	New heart block	(35)
1st degree AV block	(35)	Self-expandable valve (vs. balloon-expandable)	(35)
Left anterior hemiblock	(35)	Depth of prosthesis implantation	(36)
Right bundle branch block	(35)	Valve oversizing	(37, 38)
Calcifications (aortic valve, LVOT, mitral valve, membranous septum)	(33, 39, 40)	Insufficient difference between membranous septum lenght and depth of implantation	(33)



HV-Zeit als Prädiktor von Reizleitungsstörungen?

Electrocardiographic and electrophysiological predictors of atrioventricular block after transcatheter aortic valve replacement ©

Lena Rivard, MD, MSc, Gernot Schram, MD, PhD, Anita Asgar, MD, Paul Khairy, MD, PhD, Jason G. Andrade, MD, Raoul Bonan, MD, Marc Dubuc, MD, FHRS, Peter G. Guerra, MD, Reda Ibrahim, MD, Laurent Macle, MD, Denis Roy, MD, FHRS, Mario Talajic, MD, FHRS, Katia Dyrda, MD, Azadeh Shohoudi, PhD, Jean-Benoit le polain de Waroux, MD, PhD, Bernard Thibault, MD, FHRS

Rivard et al. Heart Rhythm. 2015

- HV-Intervall-Messung in EP-Labor vor TAVI sowie nach abgeschlossenem Klappenersatz bei 75 Patienten
- Bei Δ des HV-Intervalls ≥ 13 ms 100% Sensitivität und 84.4% Spezifität für die Vorhersage eines kompletten AV-Blocks
- Bei neu aufgetretenem Linksschenkelblock und HV-Intervall ≥ 65 ms 83.3% Sensitivität und 81.6% Spezifität für die Vorhersage eines kompletten AV-Blocks



HV-Zeit als Prädiktor von Reizleitungsstörungen?

Respective role of surface electrocardiogram and His bundle recordings to assess the risk of atrioventricular block after transcatheter aortic valve replacement

N. Badenco ^{a,*,1}, C. Chong-Nguyen ^{a,1}, C. Maupain ^{a,1}, C. Himbert ^{a,1}, G. Duthoit ^{a,1}, X. Waintraub ^{a,1}, T. Chastre ^{a,1}, E. Gandjbakhch ^{a,1}, F. Hidden-Lucet ^{a,1}, P. Le Prince ^{b,1}, J-P. Collet ^{a,1}, R. Frank ^{a,1}

Badenco et al. International Journal of Cardiology 2017

- HV-Intervall-Messung in EP-Labor vor TAVI (HV1), 15 Minuten danach (HV2) sowie vor Entlassung (HV3) bei 84 Patienten
- Keine signifikante Assoziation zwischen HV-Intervall-Dynamik bzw- Absolutwerten und Auftreten von postinterventionellem AV-Block III

Kontroverse Studienergebnisse

AP-HP, Groupe Hospitalier Pitié-Salpêtrière, Department of Cardiology, 47/83 boulevard de l'Hopital, 75013 Paris, France

b AP-HP, Groupe Hospitalier Pitié-Salpêtrière, Department of Cardiac Surgery, 47/83 boulevard de l'Hopital, 75013 Paris, France

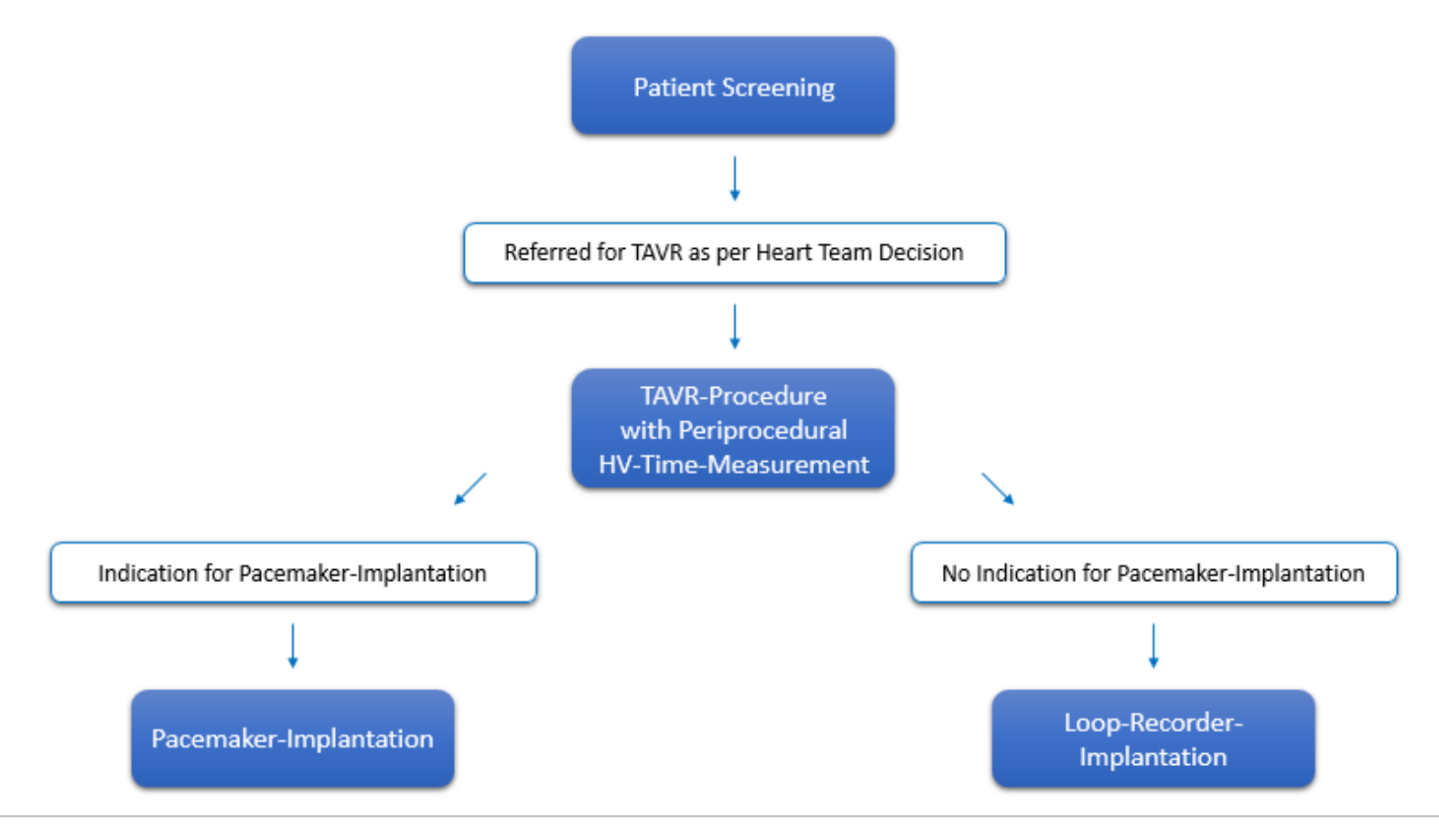


Studienprotokoll

Studie Nr. E-49-16

(2.1.5 - Nicht-therapeutische biomedizinische Forschung am Menschen (Grundlagenforschung))

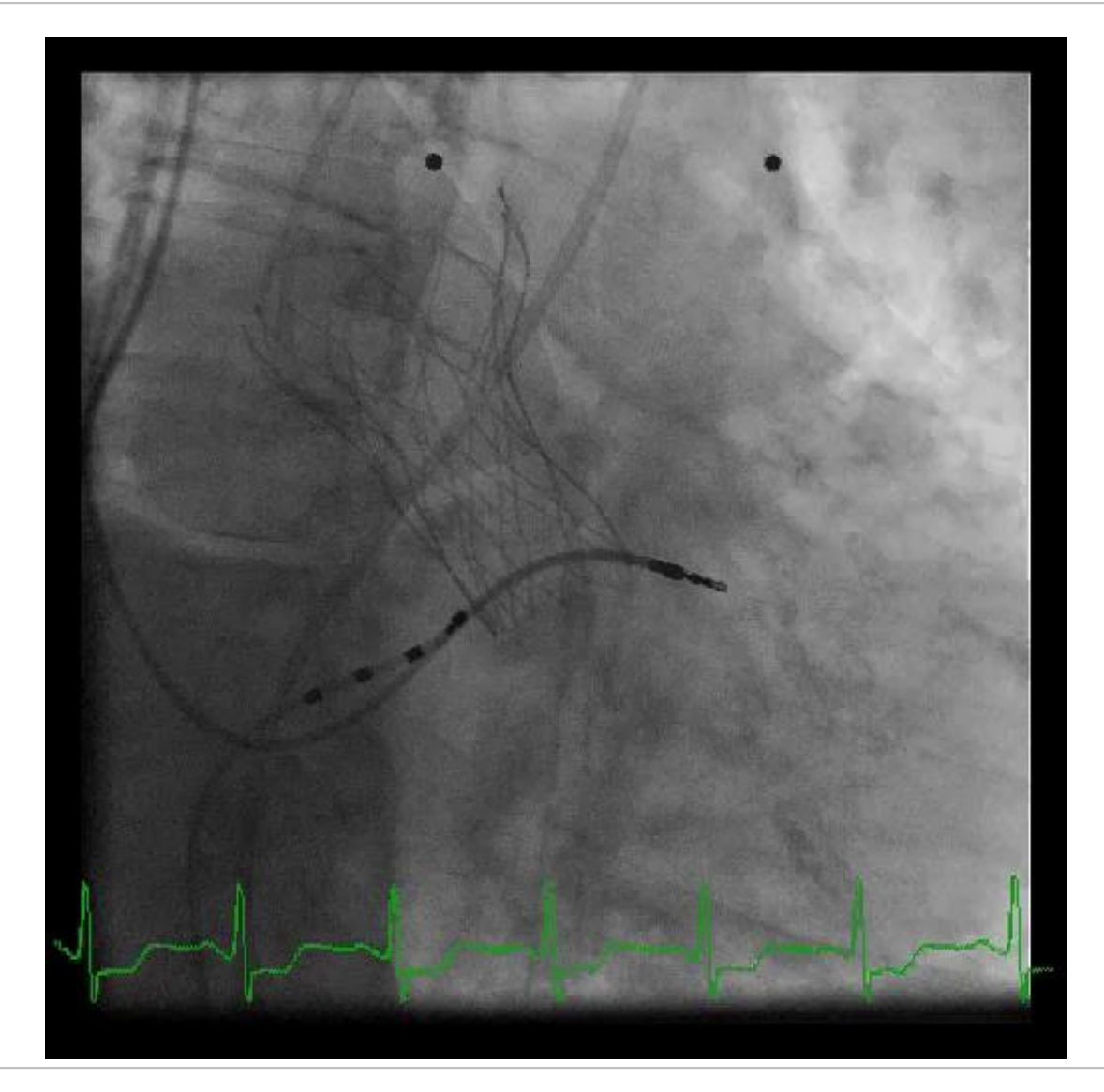
Studientitel: Ist die Zunahme der HV-Zeit ein Prädikator für Leitungsstörungen nach perkutaner Katheter-Implantation von Aortenklappen?



07.10,2018

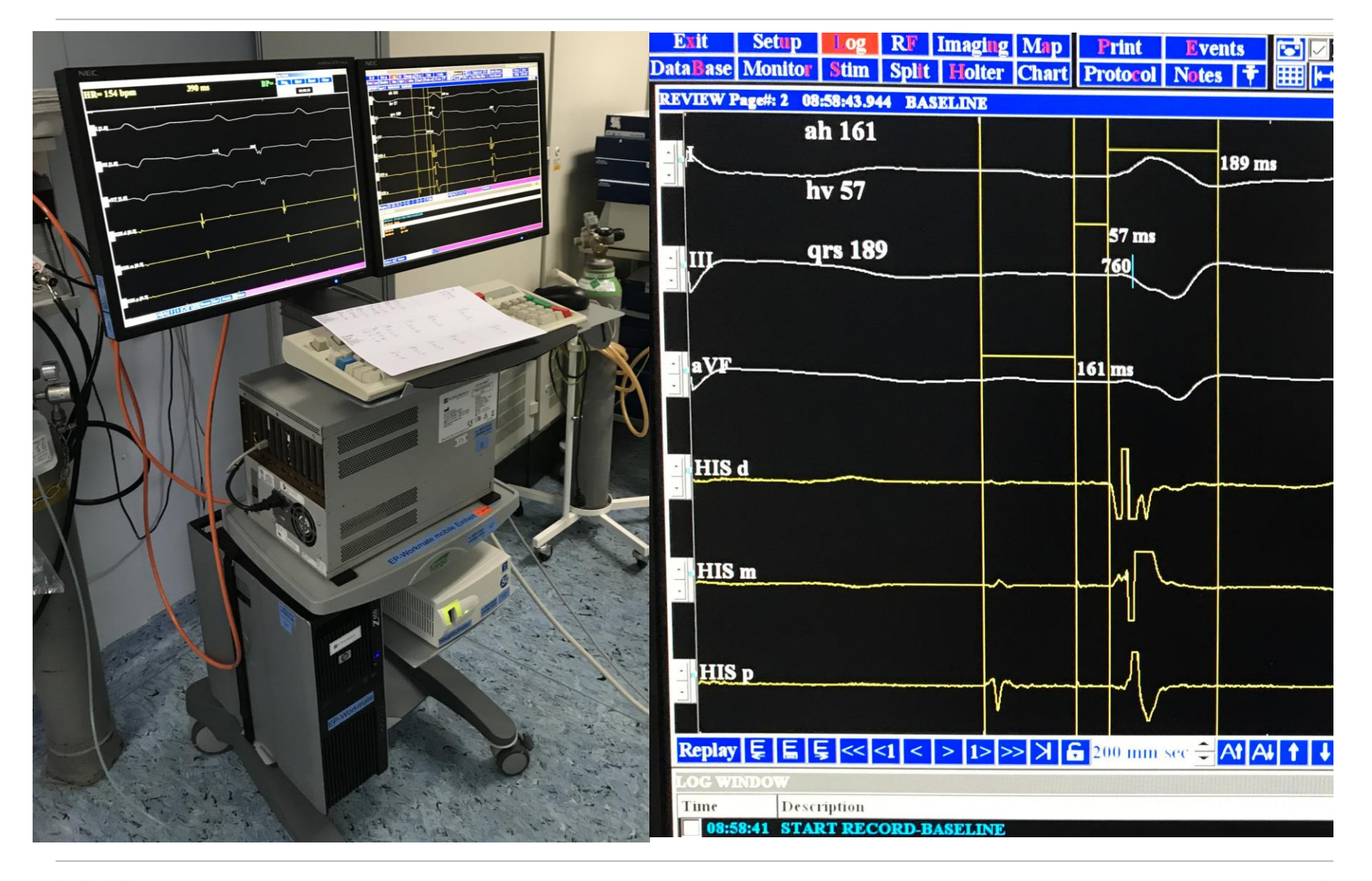


Intraprozedurale HV-Zeit-Messung





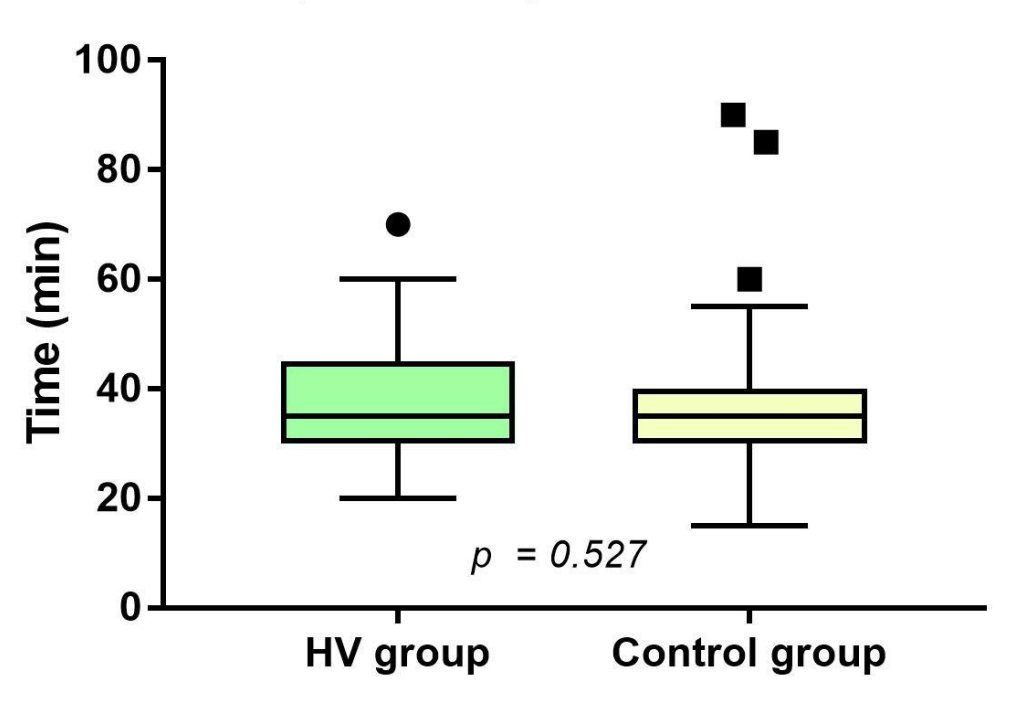
Intraprozedurale HV-Zeit-Messung







Comparison of procedural duration



N = 93 Pat. vs. 55 Pat.

HV-Group $38.14 \pm 8.5 \text{ min}$

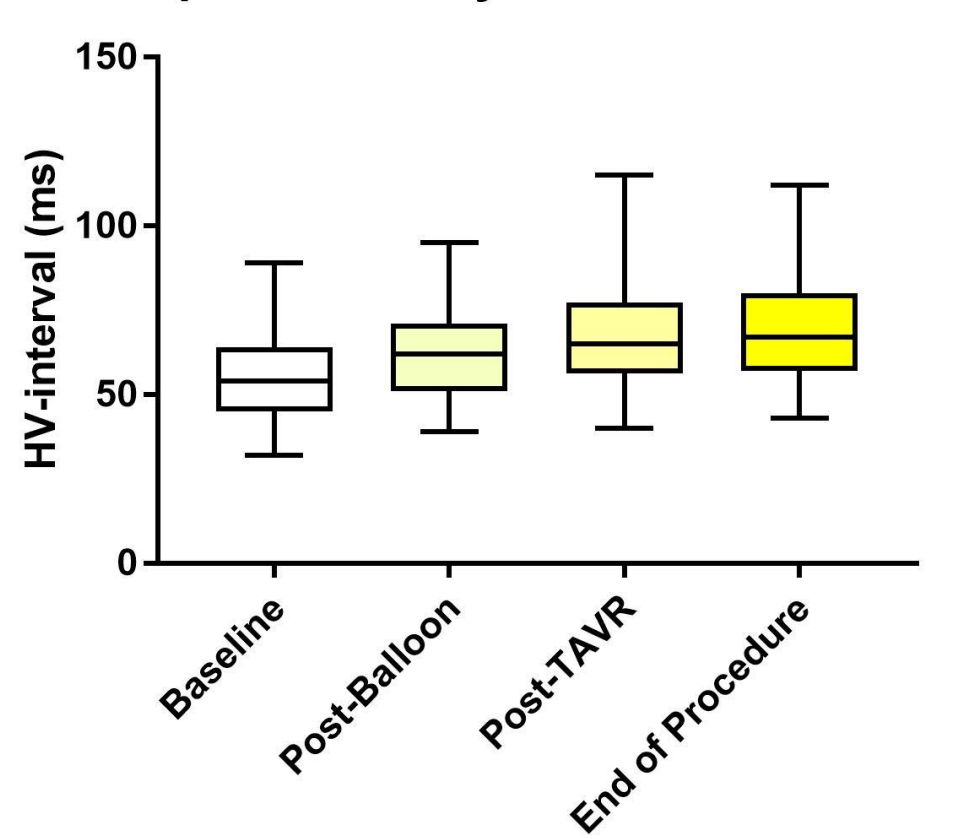
Control Group 36.87 ± 14.45 min

p = 0.527





Intraprocedural dynamics of HV-interval



N = 93 Pat.

5 Pat. mit AV-Block III nach TAVI

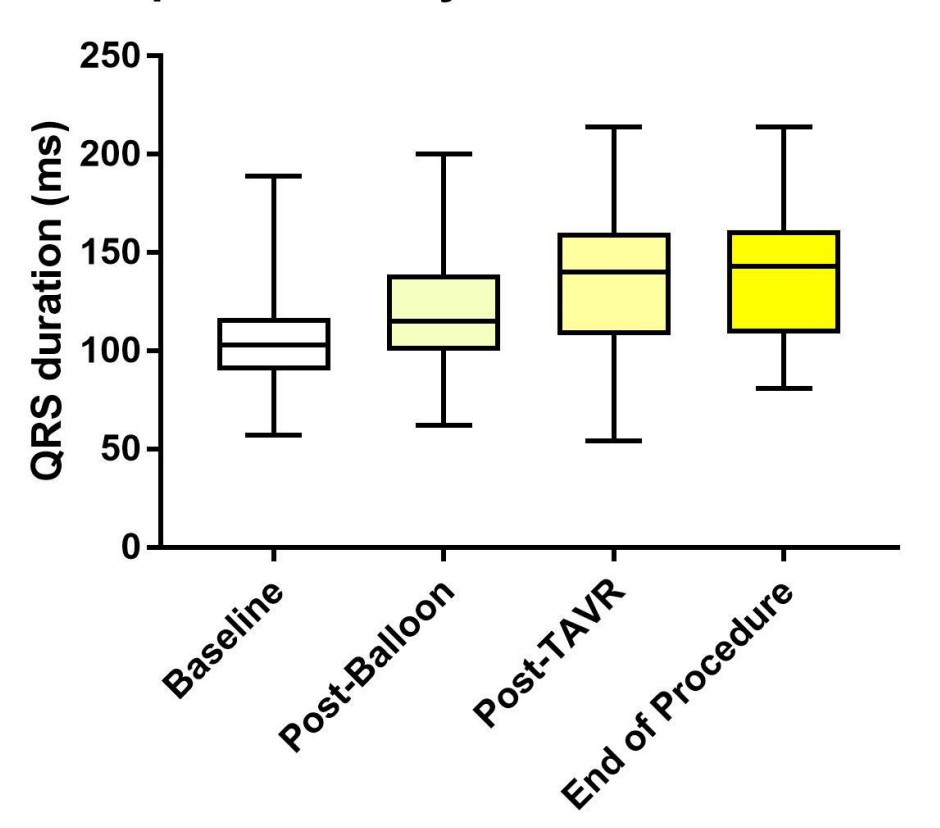
BL vs. PB p <0.0001 PB vs. PT p =0.0002 PT vs. EOP p = 0.1299

BL $54.8 \pm 12.1 \text{ ms}$ PB $62.3 \pm 13.1 \text{ ms}$ PT $67.8 \pm 15.2 \text{ ms}$ EOP $68.7 \pm 15.3 \text{ ms}$





Intraprocedural dynamics of QRS-duration



N = 93 Pat.

5 Pat. mit AV-Block III nach TAVI

BL vs. PB p <0.0001 PB vs. PT p <0.0001 PT vs. EOP p = 0.5345

BL $107.0 \pm 27.9 \text{ ms}$ PB $120.7 \pm 31.2 \text{ ms}$ PT $137.0 \pm 33.9 \text{ ms}$ EOP $138.6 \pm 31.9 \text{ ms}$



Reizleitungsstörungen unmittelbar nach TAVI

Intraprozeduraler AV-Block III bei 6 Patienten (6,4%)

AV-Block I

Vor TAVI
24 Patienten = 25.8%

Nach TAVI
28 Patienten = 30.1% (de-novo bei 4,3%)

Linksschenkelblock

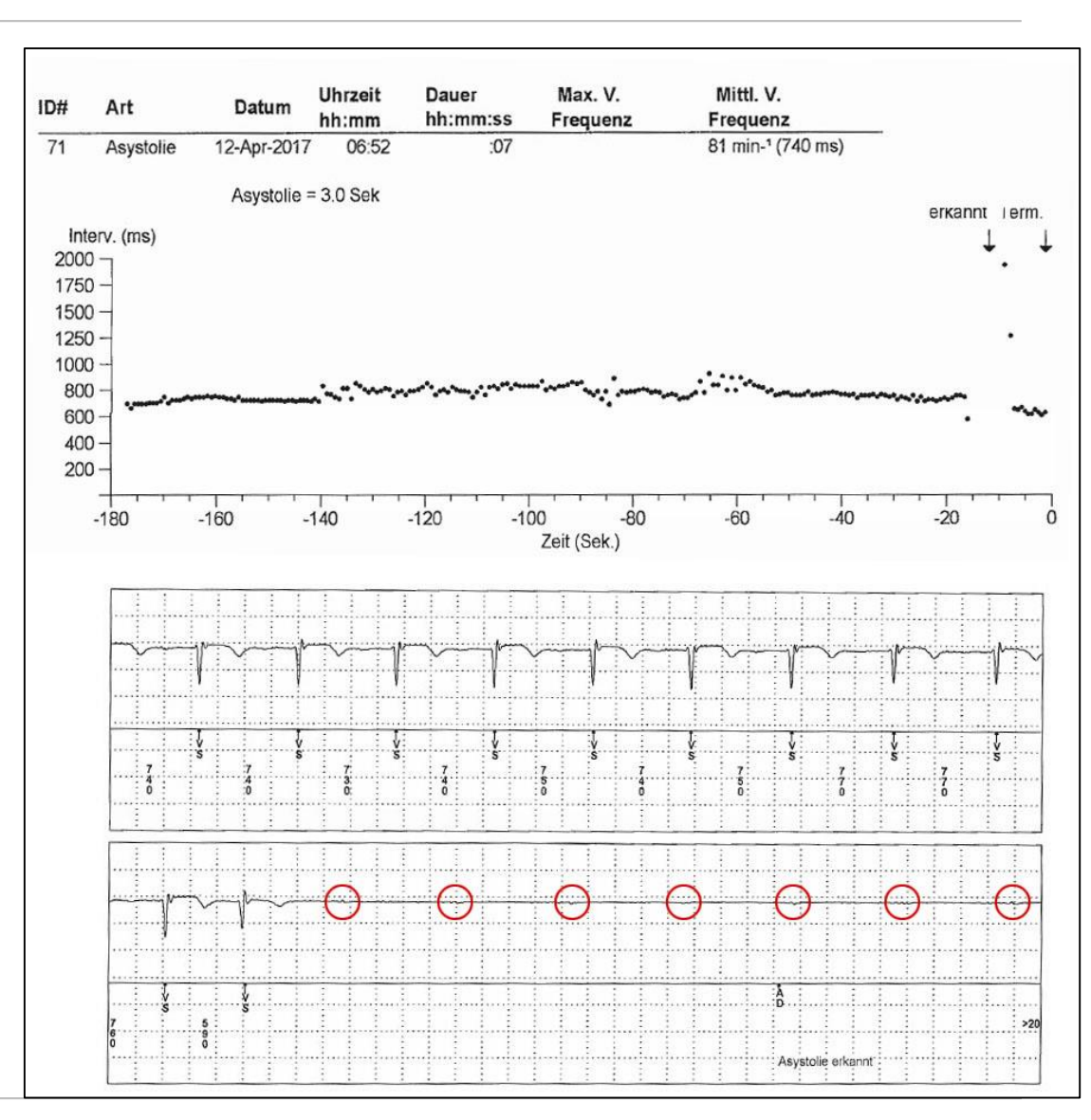
Vor TAVI
14 Patienten = 15.1%

Nach TAVI
54 Patienten = 58.1% (de-novo bei 43.0%)

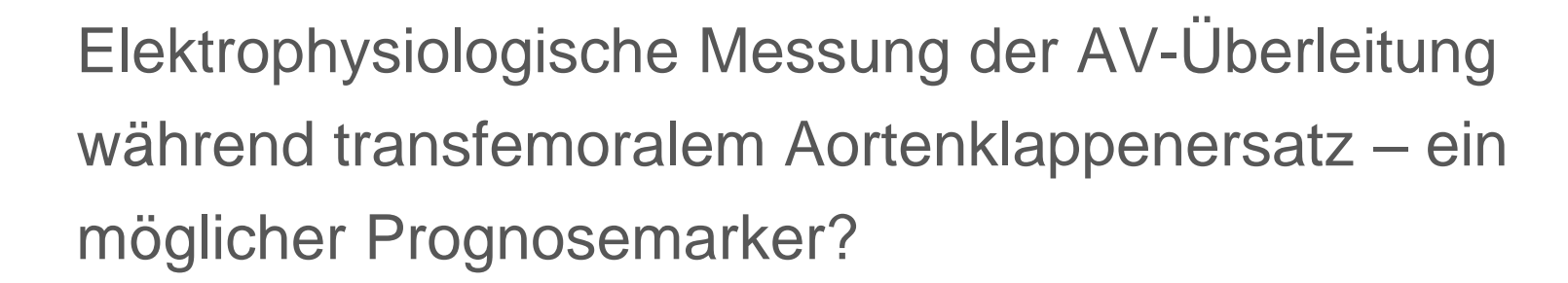


Patientenbeispiel

- 83-jähriger männlicher Patient
- HV-Zeit-Zunahme von 35 ms
- Keine PSM-Indikation nach TAVI (SR, AV-Block I, QRS 91 ms)
- Unauffällige Loop-Recorder-Abfrage nach 1 Monat
- Dokumentierter synkopaler AV-Block III mit Loop-Recorder nach 3 Monaten









Christian Reiter

Interne 1 - Kardiologie und Internistische Intensivmedizin

Kepler Universitätsklinikum – Med Campus III







